

Воздушный лазерный сканер с анализом формы отражённого сигнала для земельной съёмки

- до 266 000 измерений точек на местности в секунду
- высота полёта до 4700 м над землей
- разрешение неоднозначности: до 10 зон
- полный анализ формы отраженного сигнала снимает ограничение на количество обрабатываемых отраженных сигналов
- высокая частота импульсов - до 400 кГц
- выбор уровня мощности лазера для различных условий применения
- высокая точность дальномера ≤20 мм
- высокая скорость развёртки – 200 линий/сек
- широкий диапазон сектора сканирования – 60°
- линии развертки - параллельные
- подходит для измерений по льду и снегу
- интерфейс сопряжения с ГНСС источником времени
- решение, интегрируемое с другими комплексами и пакетами программ ALS

В новом воздушном сканере ® LMS-Q780 большого радиуса действия используется мощный источник лазерного излучения, реализован алгоритм разрешения неоднозначности и осуществляется полный анализ формы отражённых сигналов. Выбранные решения позволяют снять требование на поддержание постоянной высоты полёта над землей, что упрощает применение инструмента для съёмки участков с выраженным рельефом.

LMS-Q780 оцифровывает принимаемый сигнал и производит запись измерений, обеспечивая таким образом возможность дополнительной камеральной обработки сложных видов работ - например, съемки лесных массивов или классификации целей. Алгоритм разрешения неоднозначности позволяет использовать отраженные сигналы, для которых номер породившего зондирующую импульса не очевиден. Разрешение неоднозначности при камеральной обработке производится пакетом RiANALYZE с использованием библиотеки RiMTA.

Подбор рабочих параметров LMS-Q780 позволяет оптимизировать использование для различных видов съёмок, а развитые средства сопряжения упрощают включение в аэросъёмочные комплексы.

Принцип действия инструмента заключается в измерении интервала времени между передачей зондирующего ИК импульса наносекундной продолжительности и приемом отраженного от цели сигнала. Быстрая опто-механическая система развёртки обеспечивает формирование системы прямолинейных, односторонних и параллельных линий сканирования. Инструмент выполнен в корпусе, защищённом от внешних воздействий и может устанавливаться на летательных аппаратах - малые габариты и вес обеспечивают возможность применения на легкомоторных самолётах, вертолётах и БПЛА. Питание производится от бортовой сети одного номинала. Предусматривается сопряжение с синхросигналом GPS, позволяющее осуществить привязку измерений к шкале всемирного времени, измерения могут сохраняться в прочном

датчике с возможностью дальнейшего анализа и обработки.

Области применения:

При полной мощности лазера:

- Площадная съёмка / Съёмка с больших высот
- Топо- и маркшейдерская съёмка
- Съёмка ледников и заснеженных участков

При уменьшенной мощности лазера:

- Съёмка городов
- Съёмка границ водных объектов
- Сельское и лесное хозяйство
- Коридорная съемка

Технические характеристики LMS-Q780

Классификация лазерного излучателя

Лазерная система опасности Класса 3В по IEC60825-1:2007

Инструмент должен использоваться исключительно с пультом управления.



Дальность измерений

Полная мощность лазера

Уровень мощности лазерного источника	100%			
Частота импульсов	100 кГц	200 кГц	300 кГц	400 кГц
Наибольшее измеряемое расстояние ^{1) 3)}				
до цели с коэф. отражения $\rho \geq 20\%$	4100 м	3500 м	3000 м	2700 м
до цели с коэф. отражения $\rho \geq 60\%$	5800 м	5100 м	4500 м	4100 м
Макс. высота полёта (над землей) ^{2) 3)}				
	4700 м	4200 м	3700 м	3300 м
	15500 ф	13700 ф	12000 ф	11000 ф
NOHD ⁴⁾	200 м	160 м	125 м	105 м
ENOHD ⁵⁾	1500 м	1200 м	960 м	820 м

- 1) В следующих условиях: • цель больше размера пятна • внешняя засветка средняя • видимость 40 км
• луч падает по нормали к цели • неоднозначность измерения разрешается алгоритмически

2) Коэффициент отражения $\rho \geq 60\%$, сектор сканирования 60°, крен до $\pm 5^\circ$.

3) На ярком солнце, в противоположность пасмурной погоде, дальность может существенно уменьшаться с пропорциональным уменьшением высоты полёта.

4) Nominal Ocular Hazard Distance (Безопасная зона/удаление для невооруженного глаза), в соответствии с IEC60825-1:2007, для одиночного импульса

5) Extended Nominal Ocular Hazard Distance (Безопасная зона/удаление для вооруженного глаза), в соответствии с IEC60825-1:2007, для одиночного импульса

Уменьшенная мощность лазера

Уровень мощности лазерного источника	50%	25%	12%	6%
Частота импульсов	400 кГц	400 кГц	400 кГц	400 кГц
Наибольшее измеряемое расстояние ^{6) 8)}				
до цели с коэф. отражения $\rho \geq 20\%$	2100 м	1500 м	1120 м	820 м
до цели с коэф. отражения $\rho \geq 60\%$	3200 м	2400 м	1800 м	1350 м
Макс. высота полёта (над землей) ^{7) 8)}				
	2600 м	1950 м	1450 м	1100 м
	8600 ф	6400 ф	4800 ф	3600 ф
NOHD ⁹⁾	70 м	68 м	44 м	25 м
ENOHD ¹⁰⁾	560 м	550 м	360 м	250 м

6) В следующих условиях: • цель больше размера пятна • внешняя засветка средняя • видимость 40 км
• луч падает по нормали к цели • неоднозначность измерения разрешается алгоритмически

7) Коэффициент отражения $\rho \geq 60\%$, сектор сканирования 60°, крен до $\pm 5^\circ$.

8) На ярком солнце, в противоположность пасмурной погоде, дальность может существенно уменьшаться с пропорциональным уменьшением высоты полёта.

9) Nominal Ocular Hazard Distance (Безопасная зона/удаление для невооруженного глаза), в соответствии с IEC60825-1:2007, одна линия сканирования

10) Extended Nominal Ocular Hazard Distance, (Безопасная зона/удаление для вооруженного глаза), в соответствии с IEC60825-1:2007, одна линия сканирования

Наименьшее измеряемое расстояние ¹¹⁾

Точность ^{12) 13)}

Повторяемость ^{12) 14)}

Частота импульсов

Макс. скорость сканирования

Длина волны лазера

Угол расхождения луча ¹⁵⁾

Количество принятых отраженных сигналов

одного импульса

50 м

20 мм

20 мм

до 400 кГц

до 266 кГц при секторе сканирования 60°

ближний ИК диапазон

≤ 0.25 мрад

обработка оцифрованных сигналов: ограничений нет ¹⁶⁾

мониторинг измерений: первый

Характеристики сканера

Сканирующий механизм

Стиль съемки

Диапазон сектора сканирования

Скорость развертки

Угловой интервал сканирования $\Delta\theta$ ¹⁹⁾

Разрешение угловых измерений

Синхронизация сканирования

вращающееся многогранное зеркало

параллельные линии

$\pm 30^\circ = 60^\circ$ общий

14 - 200 линий/сек¹⁷⁾ при уровне мощности лазера $\geq 50\%$

10 - 200 линий/сек¹⁸⁾ при уровне мощности лазера $< 50\%$

$\Delta\theta \geq 0.012^\circ$ при уровне мощности лазера $\geq 50\%$

$\Delta\theta \geq 0.006^\circ$ при уровне мощности лазера $< 50\%$

0.001°

Возможность синхронизации запуска с внешним сигналом

Измерение интенсивности

Принятый сигнал представляется рядом 16-ти битных отсчётов, что

позволяет производить выделение цели, её идентификацию и/или классификацию.

11) Ограничение дальномера, без учета требований безопасной эксплуатации!

12) 1 с.к.о. на удалении 250 м в условиях испытания на .

13) Точность - степень совпадений показаний прибора с истинным значением измеряемой величины

14) Повторяемость - степень близости друг к другу показаний прибора при измерении одного образца.

15) В точках $1/e^2$. 0.25 мрад вызывает увеличение диаметра пучка

на 0,25м на каждые 1000 м дистанции.

16) Ограничено пропускной способностью регистратора .

17) Минимальная скорость сканирования возрастает линейно до 53 линий/сек при

частоте импульсов 400 кГц и уровне мощности лазера $\geq 50\%$

18) Минимальная скорость сканирования

возрастает линейно до 27 линий/сек при частоте импульсов 400 кГц и уровне мощности лазера $< 50\%$

19) Угол между последовательными импульсами, настраивается пользователем

Продолжение технических характеристик на стр. 7

Отражение от целей разных типов

Производимая сканером LMS-Q780 оцифровка позволяет извлечь наиболее полные данные из отраженного сигнала. Рисунок 1 иллюстрирует процессы измерения по трем типам целей. Кривые красного цвета показывают амплитуду лазерного луча, распространяющегося в пространстве со скоростью света. После взаимодействия с диффузно отражающей целью в сторону приёмного устройства отражается часть лазерного луча (форма отраженного сигнала показана кривой голубого цвета).

В примере №1 зондирующий импульс сначала отражается от кроны дерева (показаны 3 эхосигнала) и частично достигает почвы, от которой отражается в виде 4-го импульса. В примере №2 зондирующий импульс падает на плоскую поверхность, наклоненную относительно оси пучка, что приводит к увеличению продолжительности эхосигнала. В примере №3 зондирующий луч падает по нормали к плоской отражающей поверхности, в результате чего ответный сигнал повторяет форму зондирующего.

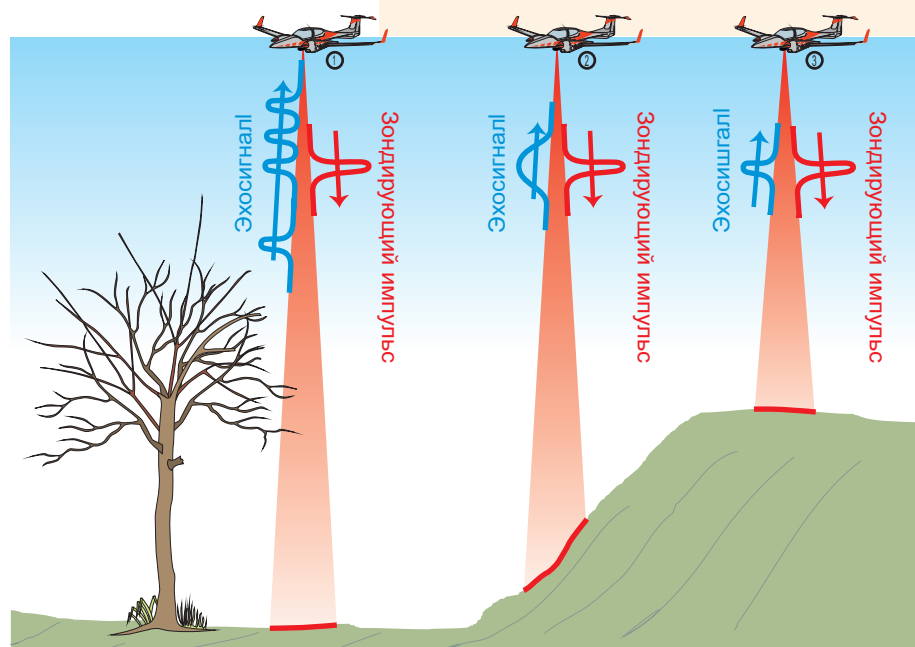


Рис. 1 Отражение от целей разных типов

Оцифровка отраженных сигналов сканером LMS-Q780

На верхнем графике диаграммы сбора данных показана амплитуда аналоговых сигналов как функция времени: красным цветом излучаемый лазером зондирующий импульс (представление сигнала упрощено), три последующих голубых импульса - отраженные сигналы от ветвей дерева, последний импульс вызван отражением от почвы.

Описанный выше аналоговый сигнал дискретизируется с фиксированным периодом (средний график), после чего подвергается аналого-цифровому преобразованию, в результате которого формируется поток цифровых данных (нижний график). Этот поток данных записывается в регистратор данных для последующей камеральной обработки, при проведении которой производится восстановление формы сигналов с последующими определениями расстояния до цели, её типа и прочих характеристик.

Богатый опыт компании в разработке и производстве цифровых лазерных дальномеров для самых разнообразных областей применения позволил спроектировать прецизионные схемотехнические решения аналоговой части и аналого-цифровых узлов сканера LMS-Q780, что дает возможность производить запись оцифрованного отраженного сигнала с широким динамическим диапазоном.

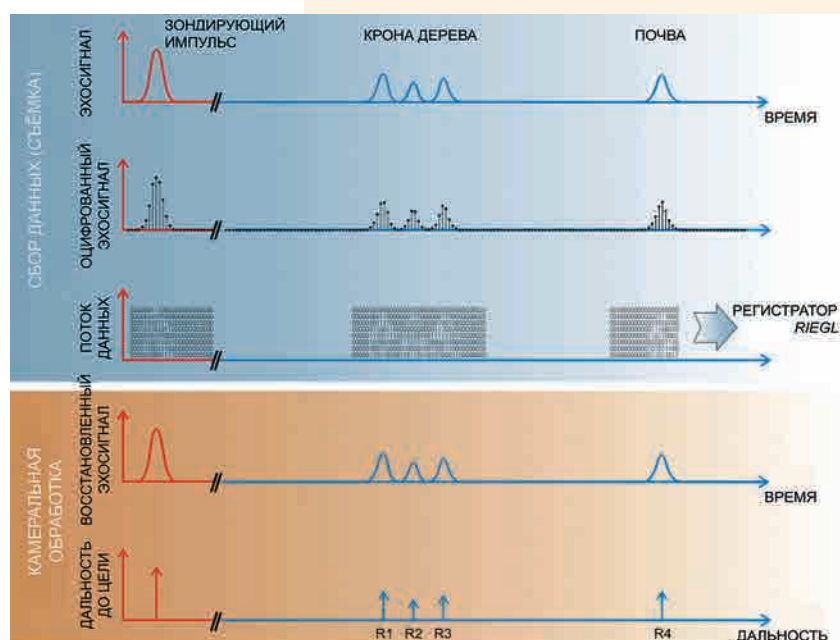


Рис. 2 Сбор данных и камеральная обработка

Разрешение неоднозначности дальномерных измерений

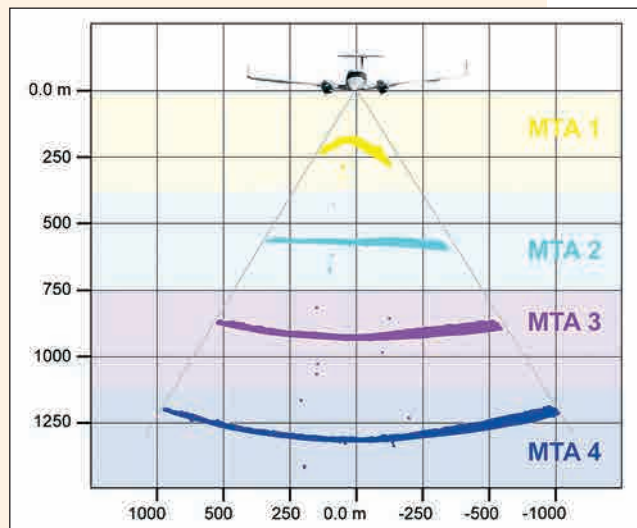


Рис. 3 Профиль данных, отнесенных к зонам МТА от 1 до 4

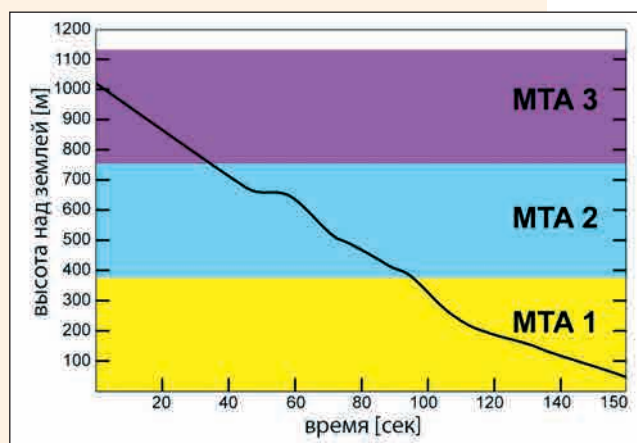


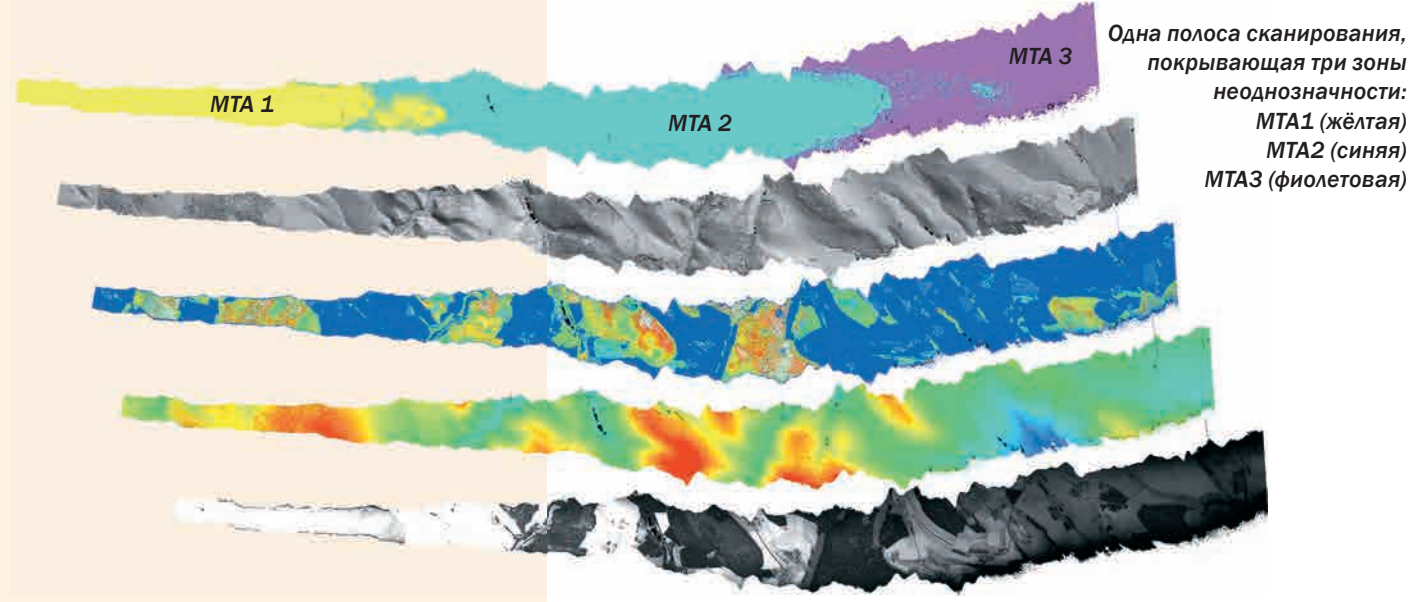
Рис. 4 Снижение высоты полёта с 1000 м до 240 м в течение 150 секунд

При измерении дальности по времени пролёта импульса существует максимальный интервал однозначных измерений, определяемый частотой формирования зондирующих импульсов и скоростью света. При частоте следования импульсов 400 кГц измерения дальности свыше 375 метров становятся неоднозначными - принятый сигнал может быть отражением не последнего излученного импульса (зона МТА 1), а предпоследнего (зона МТА 2), или даже предшествующего ему (зона МТА 3).

Рисунок 3 иллюстрирует ситуацию, складывающуюся при обработке данных сканирования, относимых к разным зонам неоднозначности. По задержке каждого эхосигнала и номеру зоны вычислена дальность до цели, находящейся в зонах МТА от 1 до 4. Конечно, истинным расстоянием для каждого из отсчетов может быть только одна из них, и именно она должна быть включена в формируемый прибором набор измерений („облако точек“). При обработке измерений алгоритм совершенно верно отнес их к зоне 2. Косвенным подтверждением правильности выбора может служить форма облака точек - поверхность земли представляется относительно плоской, что не характерно для остальных зон.

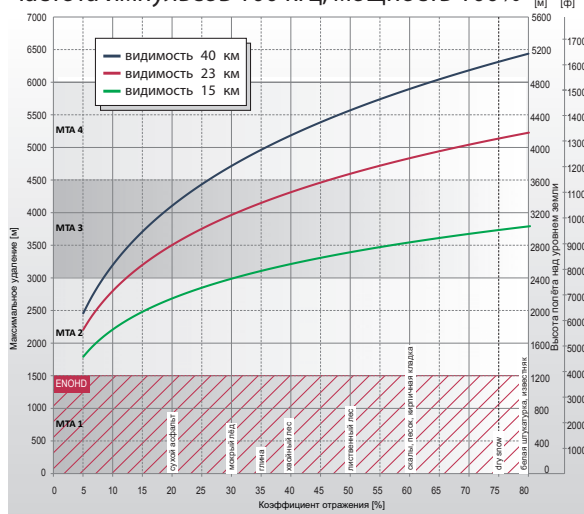
Сканер LMS-Q780i способен использовать отраженные сигналы, принимаемые с задержкой, превышающей период выдачи зондирующих импульсов. Разрешение неоднозначности на дальностях вплоть до максимальной паспортной производится с помощью высокоскоростной цифровой обработки сигнала и передового способа модуляции последовательности зондирующих импульсов. Применённый метод модуляции позволяет предотвратить полную потерю измерений в переходных зонах - плотность облака точек в них снижается всего в два раза.

Правильное разрешение неоднозначности дальномерных определений производится при камеральной обработке измерений пакетом RiANALYZE со встроенной библиотекой RiMTA, не требующей вмешательства оператора и обладающей отличной производительностью, подходящей для обработки большого количества измерений.

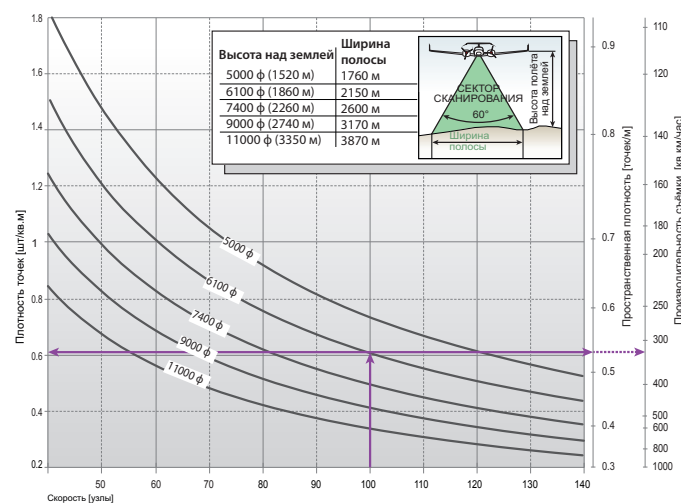


Дальность измерений и плотность точек LMS-Q780

Частота импульсов 100 кГц, мощность 100%

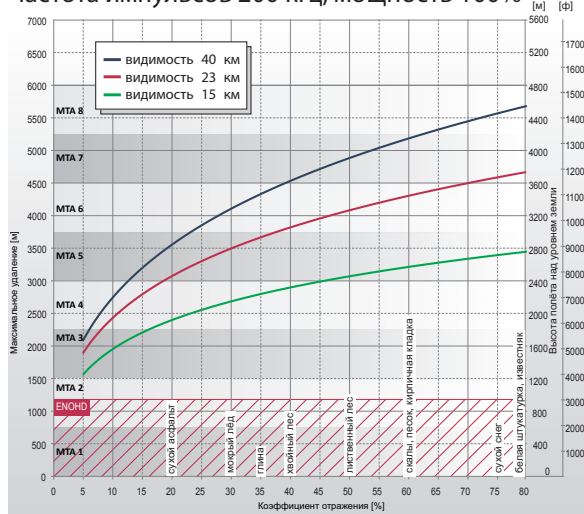


Пример: LMS-Q780 при 100000 имп./сек, мощность лазера 100%
Н = 6100 ф над землей, V = 100 узлов

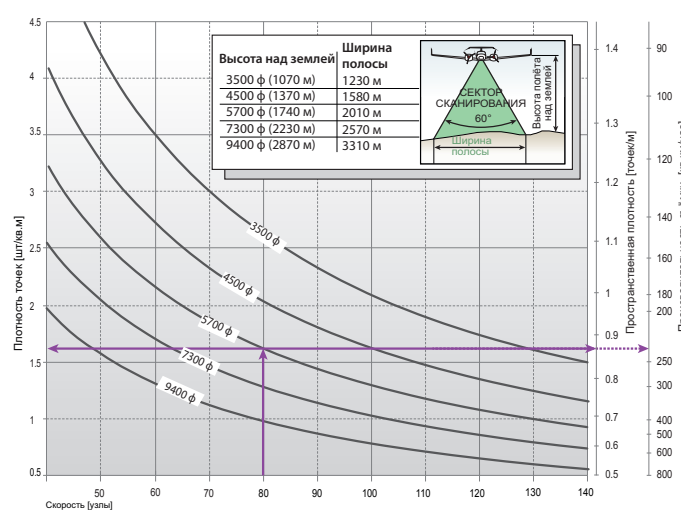


Итог: Плотность точек ~ 0,6 шт./кв.м.
Пространственная плотность ~ 0,53 точек/м
Производительность съёмки ~ 320 кв.км/ч

Частота импульсов 200 кГц, мощность 100%

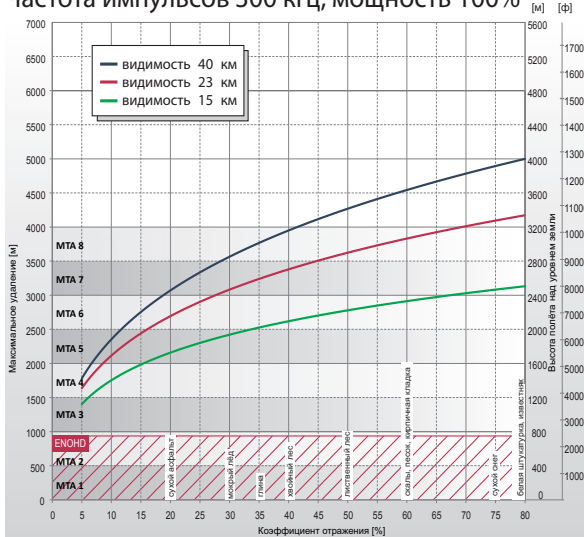


Пример: LMS-Q780 при 200000 имп./сек, мощность лазера 100%
Н = 5700 ф над землей, V = 80 узлов

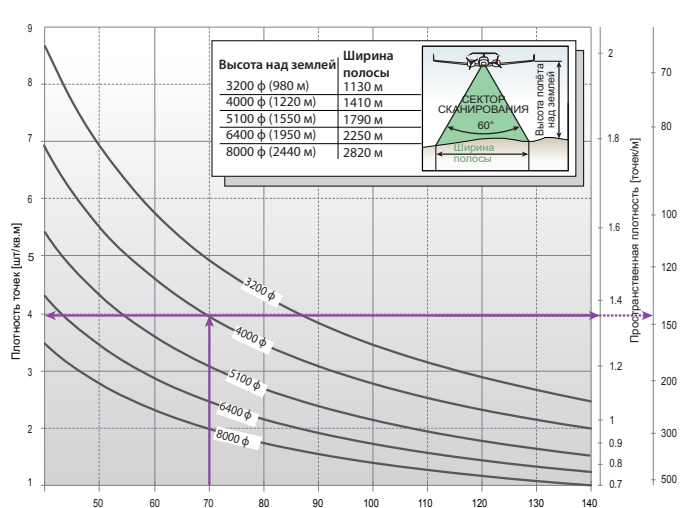


Итог: Плотность точек ~ 1,6 шт./кв.м.
Пространственная плотность ~ 0,87 точек/м
Производительность съёмки ~ 230 кв.км/ч

Частота импульсов 300 кГц, мощность 100%



Пример: LMS-Q780 при 300000 имп./сек, мощность лазера 100%
Н = 4000 ф над землей, V = 70 узлов



Итог: Плотность точек ~ 4 шт./кв.м.
Пространственная плотность ~ 1.35 точек/м
Производительность съёмки ~ 140 кв.км/ч

Приняты следующие условия для высоты полёта

- неоднозначность разрешена применением алгоритма и планированием полёта
- размер цели больше размера пятна
- сектор сканирования 60°
- средний уровень засветки
- крен не более $\pm 5^\circ$

Определение пространственной плотности точек

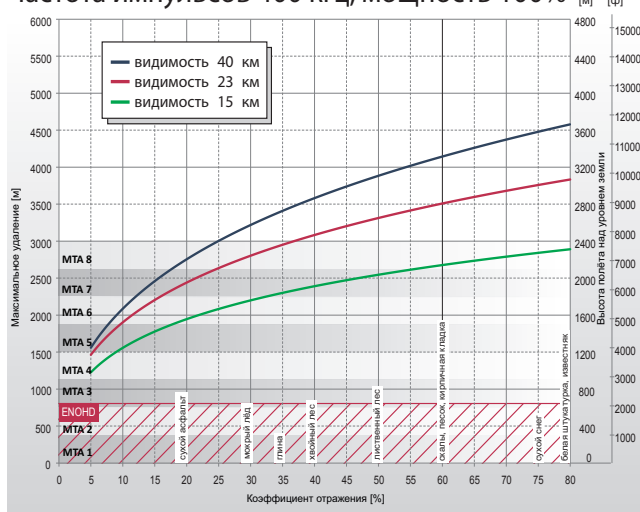
- Пространственная плотность точек - величина, обратная 95-му перцентилю функции распределения расстояния между точками сканирования.
- Для каждой точки сканирования вероятность нахождения соседней точки в линейном интервале, равном обратному от пространственной плотности, составляет 95%.

Условия расчёта производительности съёмки

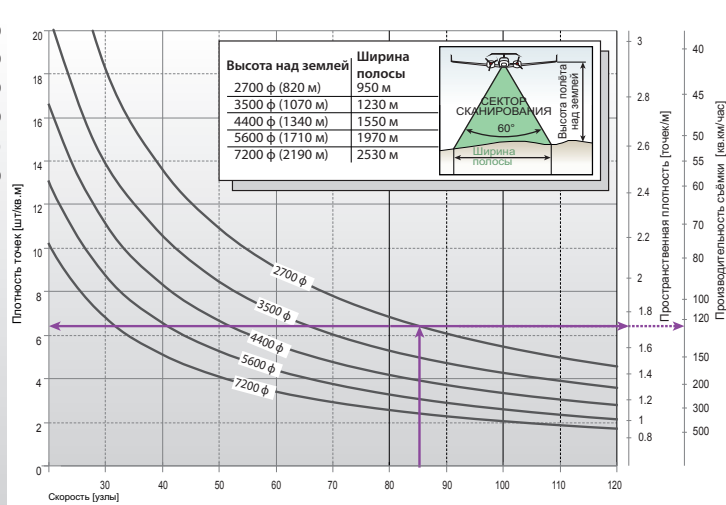
- 20% перекрытие полос соседних газов, которое компенсирует крен $\pm 5^\circ$ и возможное уменьшение высоты полёта на 20%.

Дальность измерений и плотность точек LMS-Q780

Частота импульсов 400 кГц, мощность 100%

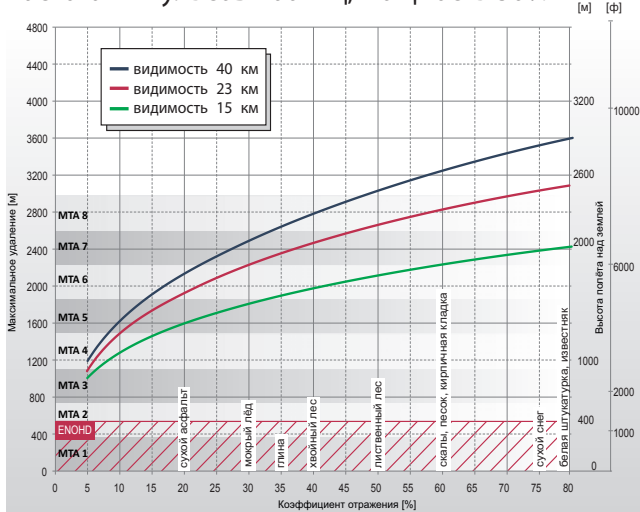


Пример: LMS-Q780 при 400000 имп./сек, мощность лазера 100%
Н = 2700 ф над землей, V = 85 узлов

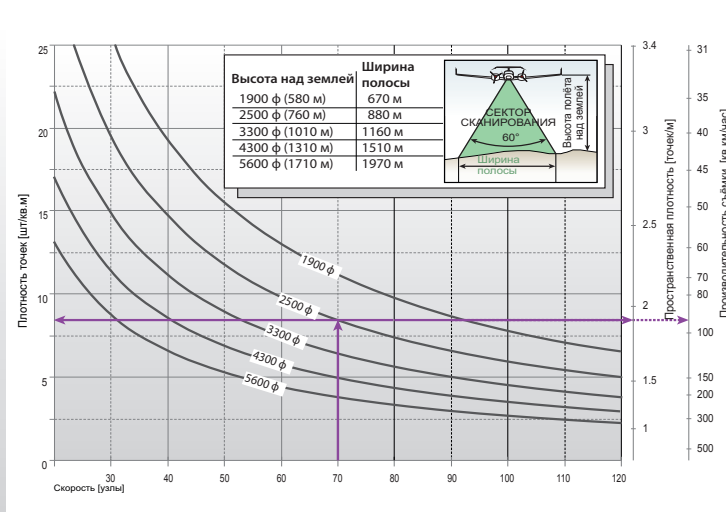


Итог: Плотность точек ~ 6,4 шт./кв.м.
Пространственная плотность ~ 1,7 точек/м
Производительность съёмки ~ 125 кв. км/ч

Частота импульсов 400 кГц, мощность 50%

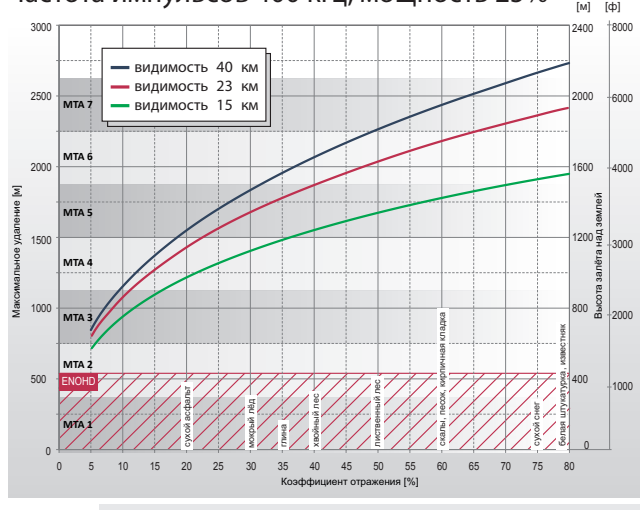


Пример: LMS-Q780 при 400000 имп./сек, мощность лазера 50%
Н = 2500 ф над землей, V = 70 узлов

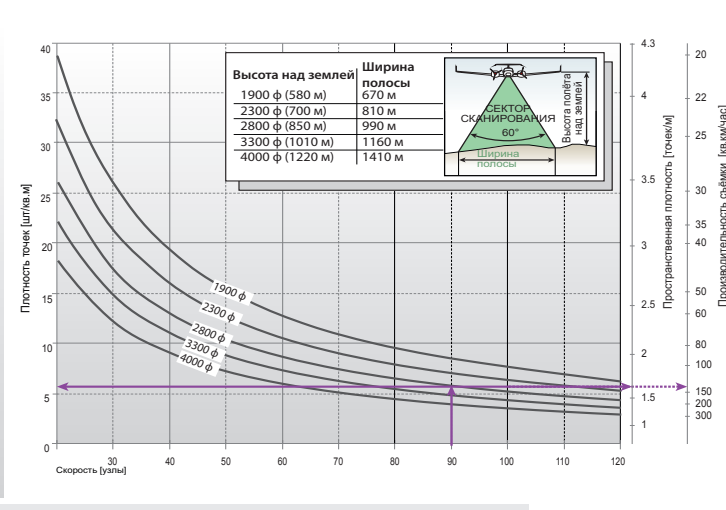


Итог: Плотность точек ~ 8,4 шт./кв.м.
Пространственная плотность ~ 1,9 точек/м
Производительность съёмки ~ 95 кв.км/ч

Частота импульсов 400 кГц, мощность 25%



Пример: LMS-Q780 при 400000 имп./сек, мощность лазера 25%
Н = 2800 ф над землей, V = 90 узлов



Итог: Плотность точек ~ 5,8 шт./кв.м.
Пространственная плотность ~ 1,6 точек/м
Производительность съёмки ~ 140 кв.км/ч

Приняты следующие условия для высоты полёта

- неоднозначность разрешена применением алгоритма и планированием полёта
- размер цели больше размера пятна
- сектор сканирования 60°
- средний уровень засветки
- крен не более $\pm 5^\circ$

Определение пространственной плотности точек

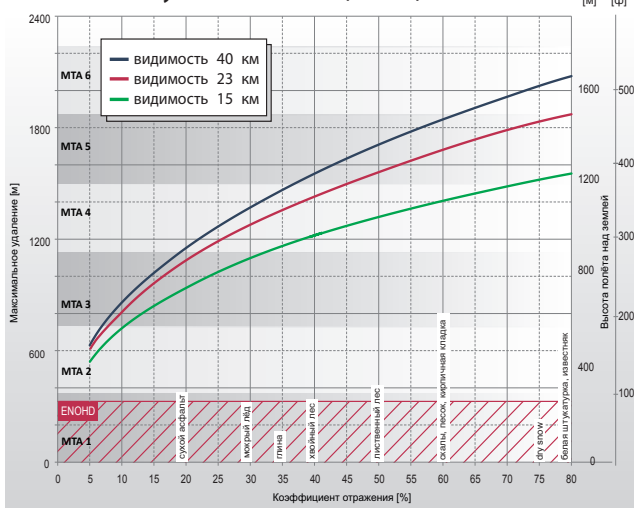
- Пространственная плотность точек - величина, обратная 95-му перцентилю функции распределения расстояния между точками сканирования.
- Для каждой точки сканирования вероятность нахождения соседней точки в линейном интервале, равном обратному от пространственной плотности, составляет 95%.

Условия расчёта производительности съёмки

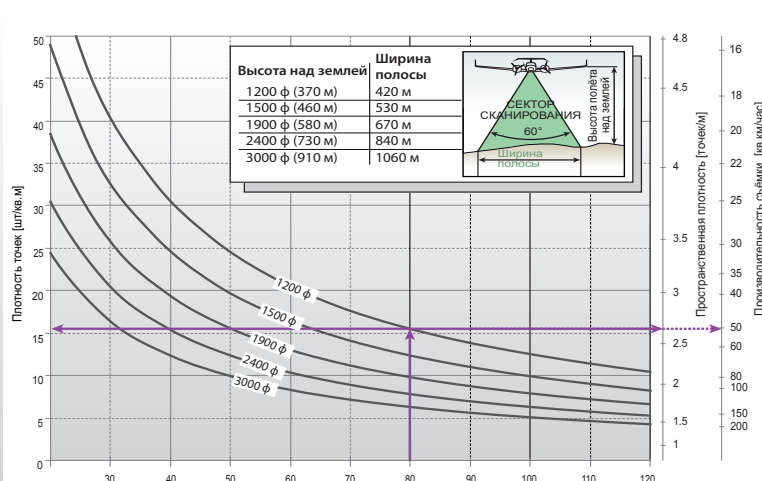
- 20% перекрытие полос соседних галсов, которое компенсирует крен $\pm 5^\circ$ и возможное уменьшение высоты полёта на 20%.

Дальность измерений и плотность точек LMS-Q780

Частота импульсов 400 кГц, мощность 12%

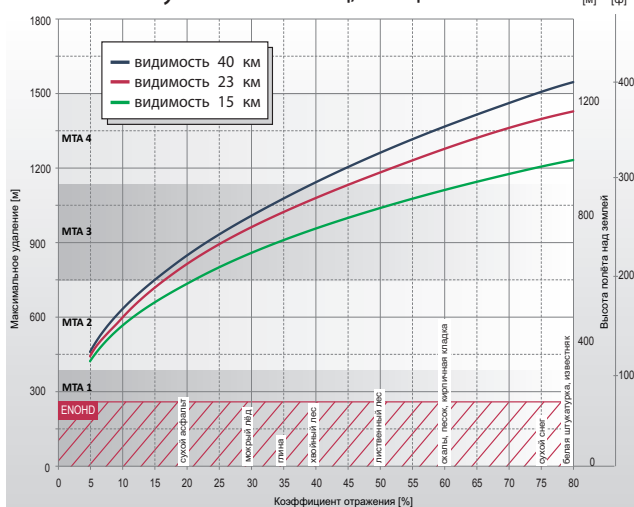


Пример: LMS-Q780 при 400000 имп./сек, мощность лазера 12%
H = 1200 ф над землей, V = 80 узлов

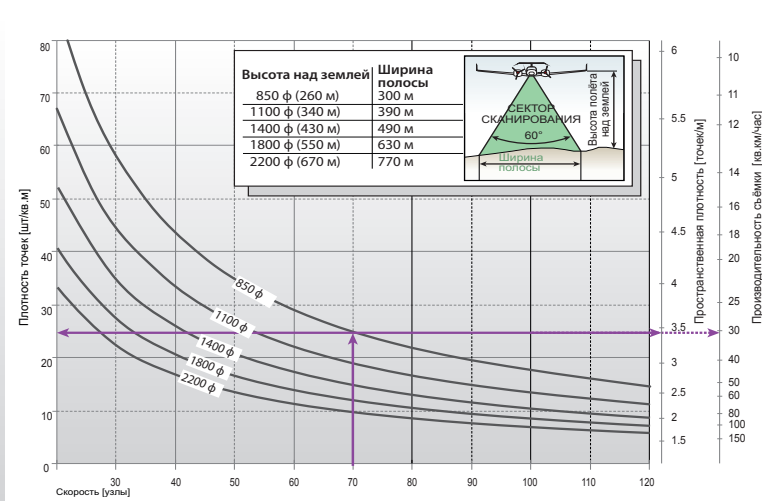


Итог: Плотность точек ~ 15.3 шт./кв.м.
Пространственная плотность ~ 2,6 точек/м
Производительность съемки ~ 50 кв.км/ч

Частота импульсов 400 кГц, мощность 6%



Пример: LMS-Q780 при 400000 имп./сек, мощность лазера 6%
H = 850 ф над землей, V = 70 узлов



Итог: Плотность точек ~ 24,7 шт./кв.м.
Пространственная плотность ~ 3,4 точек/м
Производительность съемки ~ 30 кв.км/ч

Приняты следующие условия для высоты полёта

- неоднозначность разрешена применением алгоритма и планированием полёта
- размер цели больше размера пятна
- сектор сканирования 60°
- средний уровень засветки
- крен не более ±5°

Условия расчёта производительности съёмки

- 20% перекрытие полос соседних гасков, которое компенсирует крен ±5° и возможное уменьшение высоты полёта на 20%.

Определение пространственной плотности точек

- Пространственная плотность точек - величина, обратная 95-му перцентилю функции распределения расстояния между точками сканирования.
- Для каждой точки сканирования вероятность нахождения соседней точки в линейном интервале, равном обратному от пространственной плотности, составляет 95%.

Технические характеристики LMS-Q780 (продолжение)

Интерфейсы данных

Настройка

Мониторинг измерений

Оцифрованные измерения

Синхронизация

Общие технические данные

Напряжение питания / Потребляемая мощность

Габариты (Д x Ш x В) / Масса

Класс защиты

Макс. высота полета (включен / выключен)

Температура

Крепление инерциального блока

TCP/IP Ethernet (10/100 Мбит), RS232 (19.2 кбит)

TCP/IP Ethernet (10/100 Мбит)

Высокоскоростной последовательный интерфейс с регистратором

Последовательный RS232, вход синхронизации 1PPS, поддержка различных типов сообщения о текущем времени

18 ... 32 В постоянного тока / около 7 А при 24 В

480 x 212 x 279 мм / около 20 кг

IP54

18500 ф (5600 м) / 18500 ф (5600 м) над уровнем моря

-5°C ... +40°C (рабочая) / -10°C ... +50°C (хранения)

Стальные втулки в верхней и боковых крышках сканера, жестко соединяются с каркасом сканирующей головки.

По вопросам продаж и поддержки обращайтесь:

Архангельск (8182)63-90-72
Астана +7(7172)727-132
Белгород (4722)40-23-64
Брянск (4832)59-03-52
Владивосток (423)249-28-31
Волгоград (844)278-03-48
Вологда (8172)26-41-59
Воронеж (473)204-51-73
Екатеринбург (343)384-55-89
Иваново (4932)77-34-06
Ижевск (3412)26-03-58
Казань (843)206-01-48

Калининград (4012)72-03-81
Калуга (4842)92-23-67
Кемерово (3842)65-04-62
Киров (8332)68-02-04
Краснодар (861)203-40-90
Красноярск (391)204-63-61
Курск (4712)77-13-04
Липецк (4742)52-20-81
Магнитогорск (3519)55-03-13
Москва (495)268-04-70
Мурманск (8152)59-64-93
Набережные Челны (8552)20-53-41

Нижний Новгород (831)429-08-12
Новокузнецк (3843)20-46-81
Новосибирск (383)227-86-73
Орел (4862)44-53-42
Оренбург (3532)37-68-04
Пенза (8412)22-31-16
Пермь (342)205-81-47
Ростов-на-Дону (863)308-18-15
Рязань (4912)46-61-64
Самара (846)206-03-16
Санкт-Петербург (812)309-46-40
Саратов (845)249-38-78

Смоленск (4812)29-41-54
Сочи (862)225-72-31
Ставрополь (8652)20-65-13
Тверь (4822)63-31-35
Томск (3822)98-41-53
Тула (4872)74-02-29
Тюмень (3452)66-21-18
Ульяновск (8422)24-23-59
Уфа (347)229-48-12
Челябинск (351)202-03-61
Череповец (8202)49-02-64
Ярославль (4852)69-52-93

сайт: <http://lazerg.nt-rt.ru> || **эл. почта:** rlg@nt-rt.ru